

根据圣维南原理,建模时选取足够大尺寸的模型,模型尺寸为长(Y)×宽(X)×高(Z)=240 m×180 m×120 m,共有 258 373 个单元,45 055 个节点,模型整体网格划分见图 2。模型中,隧道采用 2D 壳单元,土层和桩体采用 3D 实体单元,土体采用 Drucker-Prager 屈服准则,桥桩采用线弹性本构模型。

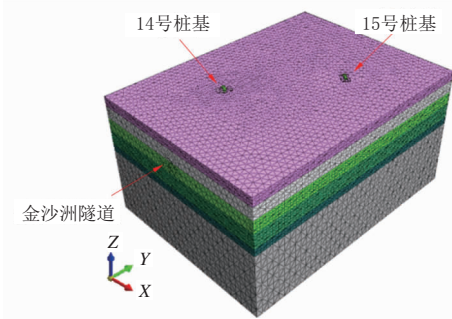


图 2 模型网格划分图

2.2 计算参数选取

边界条件:模型采用位移边界条件,底面为固定约束,侧面为法向约束。

土体由上至下共分为 5 层,最下面一层为岩层,每层参数按照勘察报告中选取,见表 1、表 2。

表 1 土体参数表

编号	土层名称	压缩模量/MPa	泊松比	$\gamma/(kN \cdot m^{-3})$	c/kPa	$\varphi/(\circ)$
1	素填土	3.5	0.28	19	8	10
2	软塑粉质黏土	3.5	0.30	18.9	14.9	16.1
3	可塑粉质黏土	5	0.32	19.5	22.8	19
4	硬塑粉质黏土	10	0.35	19.6	26.8	21.9
5	强风化灰岩	10	0.35	20	24	20.5
6	中风化灰岩	100	0.35	21	35	30

表 2 钢筋混凝土结构参数

混凝土标号	弹性模量/GPa	$\gamma/(kN \cdot m^{-3})$	备注
C35	31.5	25	桩基
C40	32.5	25	隧道

2.3 计算工况

为了模拟桩基施工对高铁隧道的影响,本次计算选取如下 2 个工况进行分析:

- 工况 1: 桩基成孔过程中;
- 工况 2: 桥梁运营后。

3 分析结果

3.1 工况 1

3.1.1 承台周边变形分析

在工况 1 时,桩基成孔过程中产生的桩基周边土的竖向位移见图 3~图 6。

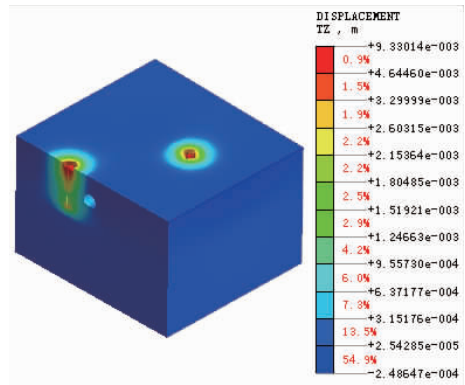


图 3 14号墩桩基周边竖向位移云图

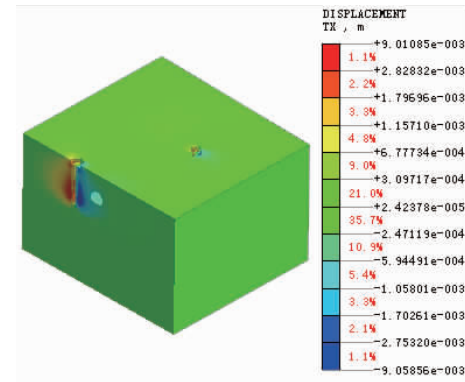


图 4 14号墩桩基横向位移云图

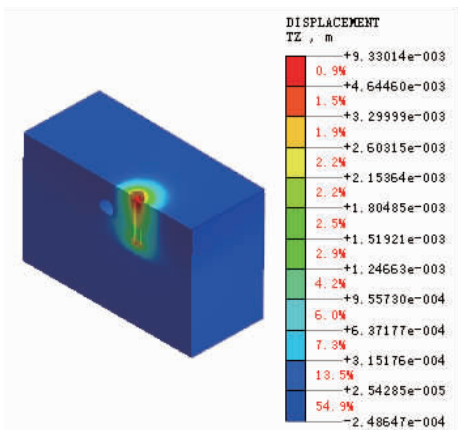


图 5 15号墩桩基竖向位移云图

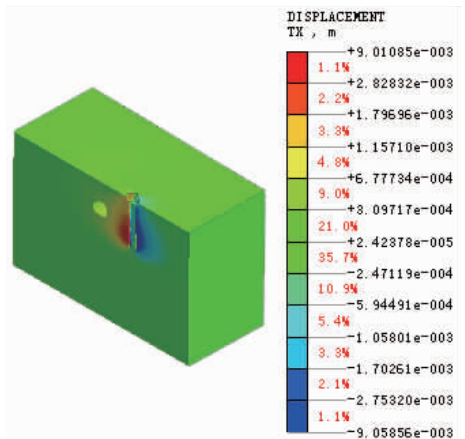


图 6 15号墩桩基横向位移云图

由上述地层竖向和横向位移云图可知,在工况 1 情况下,地层位移主要由于桩基开挖导致,由于桩基

成孔以及承台开挖施工,导致承台处在周边地层应力作用下,产生了隆起,竖向最大隆起为 9.3 mm;最大沉降 0.2 mm,在桩基周边。横向由于桩基成孔,在地层应力作用下,桩位处产生了横向位移,最大为 9.0 mm,位于桩底。

3.1.2 隧道变形分析

在工况 1 时,桩基成孔过程中产生的隧道变形见图 7、图 8。

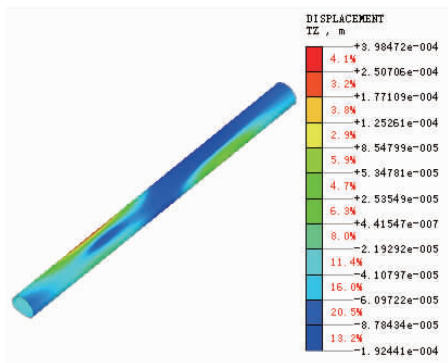


图 7 隧道竖向变形

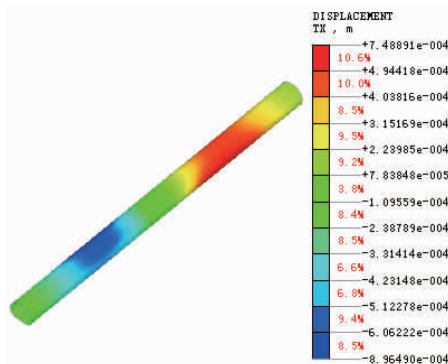


图 8 隧道横向变形

由上述隧道竖向和横向位移云图可知,在工况 1 情况下,隧道受桩基旋挖施工影响,在临近桩基位置出现较大位移。竖向最大隆起为 0.4 mm,位于拱腰。最大沉降为 0.2 mm,位于拱顶。横向最大位移为 0.9 mm,位于拱腰。纵向最大位移为 0.1 mm,位于拱腰。

3.1.3 隧道内力分析

在工况 1 时,桩基成孔过程中产生的隧道内力见图 9、图 10。

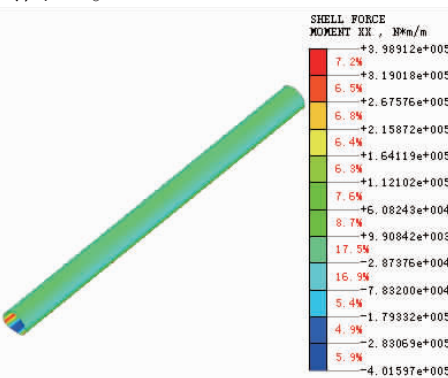


图 9 隧道横向弯矩图

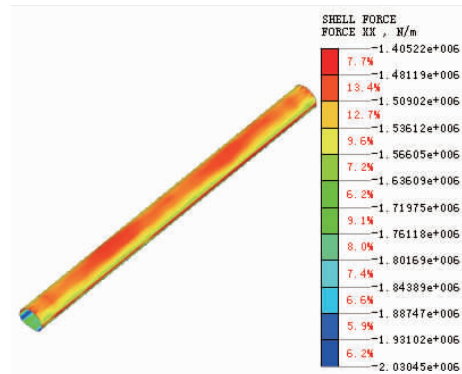


图 10 隧道横向轴力

由上述隧道横向和纵向弯矩云图可知,在工况 1 情况下,隧道横向最大正弯矩为 398.9 kN·m,位于拱脚,最大负弯矩为 401.6 kN·m,位于拱底;隧道横向最大轴力为 2 030.5 kN,位于拱脚。

3.2 工况 2

3.2.1 桩基周边变形分析

由上述桩基周边地层位移云图(见图 11~图 14)可知,在工况 2 情况下,在运营阶段,桩基在承受桩顶力工况下,会产生竖向变形,从而导致周边土产生一定的隆起,竖向最大隆起为 3.5 mm,位于桩基承台周边处;同时桩基底部由于桩身自身受压弹性变形,导致周边土体也发生沉降,最大沉降 4.6 mm。桩基由于竖向变形在桩底同时也产生横向变形,最大为 9.0 mm。

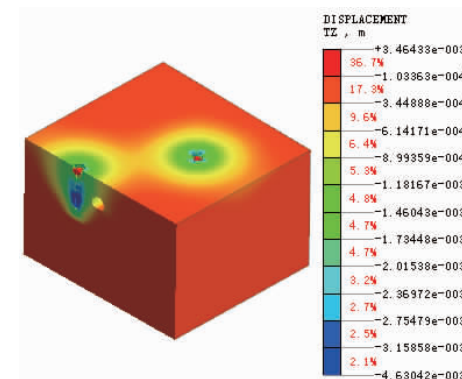


图 11 14号墩桩基周边竖向位移云图

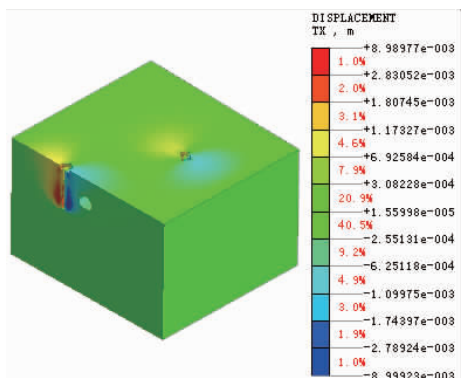


图 12 14号墩桩基周边横向位移云图

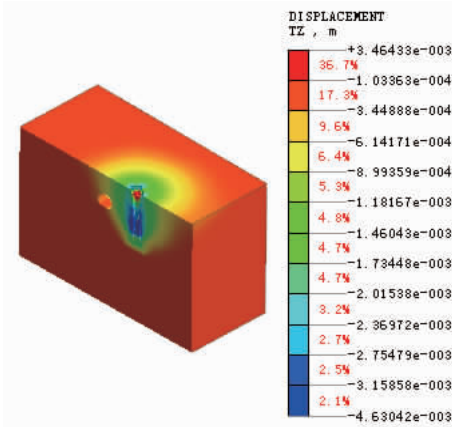


图 13 15号墩桩基周边竖向位移云图

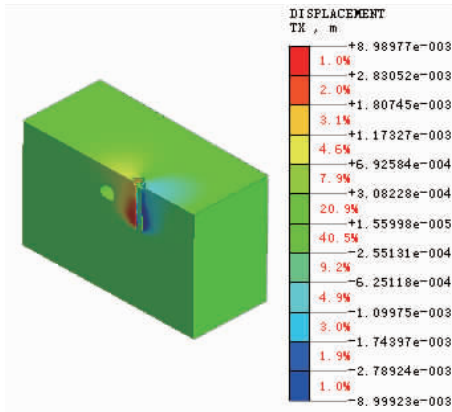


图 14 15号墩桩基周边横向位移云图

3.2.2 隧道变形分析

由上述隧道位移云图(见图 15、图 16)可知,在工况 2 情况下,隧道竖向最大变形为 1.0 mm,位于拱腰。横向最大位移为 0.8 mm,位于拱腰。

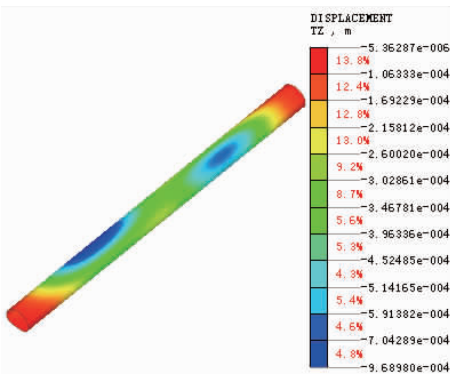


图 15 隧道竖向变形

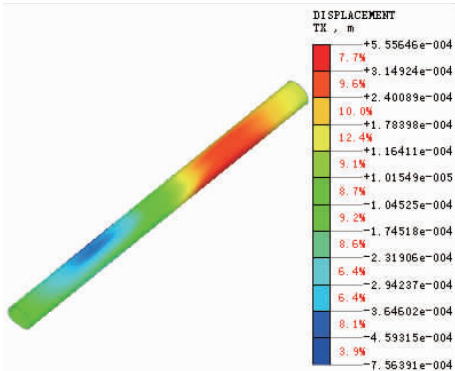


图 16 隧道横向变形

3.2.3 隧道内力分析

由上述隧道位移云图(见图 17、图 18)可知,在工况 2 情况下,隧道横向最大正弯矩为 417.4 kN·m,位于拱脚,最大负弯矩为 409.2 kN·m,位于拱底;隧道横向最大轴力为 2 031.8 kN,位于拱脚。

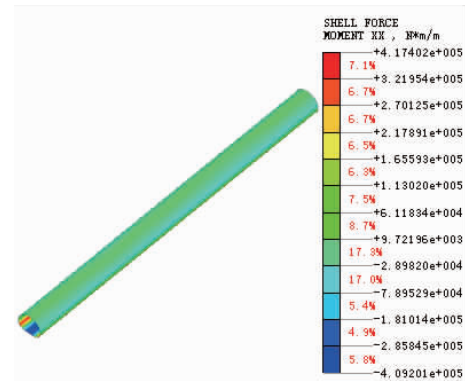


图 17 隧道横向弯矩

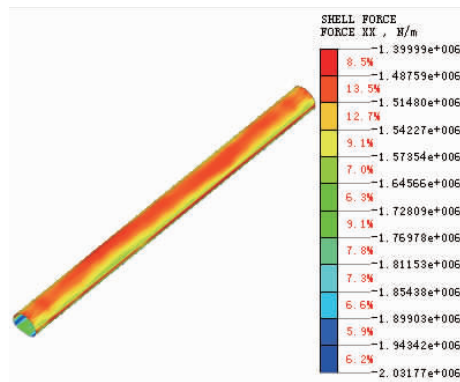


图 18 隧道横向轴力

4 隧道受力分析

由工况 1 和工况 2 的分析可知,隧道在工况 1 和工况 2 的作用下,都会产生一定的横向和纵向弯矩,该弯矩主要是由于桩基施工所导致的。由于在进行 GTS 分析时,是单独将工况 1 和工况 2 分开分析的,实则最终运营状况下工况 1 和工况 2 是受力叠加的过程,工况 2 是在工况 1 内力和变形已经发生的基础上进一步的发生变形和内力。故在进行隧道受力分析时,应综合考虑两个阶段的变形和内力,鉴于工况 2 成桩后,对周边土体变形有一定的抑制作用,在此为了方便分析,将工况 1 和工况 2 产生的内力和变形进行叠加来对隧道受力进行分析。

隧道主要受力模式与变形为横向变形,在此根据上述工况 1 和工况 2 的计算结果,隧道在横向弯矩作用下,计算由此隧道裂缝见表 3。

由以上计算可知,隧道在工况 1 和工况 2 条件下,隧道在拱脚处产生较大的裂缝,最大裂缝约 0.19 mm。可以看出,裂缝虽小于规范要求的 0.2 mm,但已经比

表 3 隧道裂缝表

状况	隧道最大弯矩 /kN	隧道最大轴力 /kN	受力构件类型	裂缝 / mm
运营状况下	818	8 060	偏压	0.19

较接近,设计和施工时建议对地层考虑预先加固措施。。

5 结 语

由以上分析可见,受桩基施工的影响,从桩基开挖至施工完成,地层及隧道结构的受力均有一定变化。主要表现在以下几个方面:

(1)工况 1 下桩基成孔施做阶段,由于基坑开挖,导致周边土产生隆起,故建议在工况下基坑开挖时做好支护。

(2)就地层而言,地层最大变形均发生在桩基处,竖向隆起减小,竖向沉降增大。横向变形及纵向变形变化不明显。隧道结构最大位移始终出现在临近桩基区域。当桩基开挖时,隧道结构上同时存在隆起及沉降位移,而桩基施做完成后,隆起消失,最大沉降位移增大。隧道横向及纵向位移变化不明显。

(3)就隧道内力而言,随着桩基施做完成,隧道

横向轴力略有增大。隧道纵向整体沉降趋同,纵向轴力有所减小。隧道横向、纵向弯矩均略有增加。

综上所述,相对于桩基的开挖半径,桩基与隧道结构的间距较大,桩基开挖与施做对隧道结构的影响有限。隧道受力和变形影响基本在规范和铁路部门允许范围内。以后类似桥桩与地下结构物较近的工程项目,采用 MIDAS GTS 进行三维实体分析,不失为一种有效的方法。

参考文献:

[1] 李智彦,丁振明.钻孔灌注桩施工对临近桥桩基影响的数值模拟[J].公路交通科技,2013(4):70-75.

[2] 李龙剑,杨宏伟,李政林,等.基坑开挖对邻近桥梁桩基的影响分析[J].地下空间与工程学报,2011,7(S2):1697-1701.

[3] 刘登攀,刘国彬.邻近建筑物对某基坑变形影响的分析[J].岩土技术工程,2007,21(1):28-31,45.

[4] 张志强,何川.深圳地铁隧道邻接桩基施工力学行为研究[J].岩土工程学报,2003,25(2):204-207.

[5] 雷杨.基坑开挖对临近桩基影响的实测及三维有限元数值模拟分析[D].天津:天津大学,2005.

[6] 张博恒.基于 MIDAS GTS 探讨冲击钻对临近桥的影响[J].道路桥梁,2016(7):23.

(上接第 148 页)

4 结 语

莫干山路提升改造(石祥路—绕城北线 104 国道收费站)工程桥梁预制拼装施工技术对桥梁构件进行标准化、机械化、模块化、精细化管理,作业时交通压力小、安全系数高,施工速度快^[4]、整体进度可控、质量有保证^[5]。通过采用预制立柱快速精确安装、双立柱一体化盖梁精确定位、超长超重盖梁快速安装、长大多节段盖梁预制及干接精确安装、套筒灌浆质量保证、多轮 18 轴液压均衡平板车运输、机械化集中吊装、吊具设计及软吊带使用等方法,大大提高了城市桥梁施工效率,可实现在复杂交通环境下城市桥梁绿色、快速化施工,将对交通、人文、环境的影

响降至最低,在城市桥梁施工技术中具有广泛应用前景^[6]。

参考文献:

[1] 孙衍,杨光强.桥梁预制拼装技术在城市密集区的应用与思考[J].公路,2021(4):62-65,77.

[2] 高剑容.市政桥梁预制墩柱拼装关键技术应用研究[J].福建建设科技,2022(5):104-106.

[3] 王彬.桥梁下部结构预制拼装关键技术[J].天津建设科技,2021,31(5):17-19.

[4] 刘远炜.装配式高架桥梁预制拼装技术及经济效益分析[J].工程机械与维修,2021(5):120-121.

[5] 卢永成,陈明,王冠男.公路桥梁预制拼装技术与实践[C]//第 26 届华东六省一市土木建筑工程建造技术交流会论文集(下册).

[6] 徐双.城市桥梁预制拼装施工技术展望[J].市政技术,2021,39(S1):20-23,52.